

# Type 2 압력용기의 압축잔류응력 예측에 관한 연구

## A Study on the Prediction of Residual Stresses for the Type2 Pressure Vessel.

\*이현우<sup>1</sup>, 김성진<sup>2</sup>, 장석주<sup>3</sup>, #김철<sup>3</sup>, 조해용<sup>4</sup>

\* H. W. Lee<sup>1</sup>, S. J. Kim<sup>2</sup>, S. J. Jang<sup>3</sup>, #C. Kim(chulki@pusan.ac.kr)<sup>3</sup>, H. Y. Cho<sup>4</sup>

<sup>1-2</sup> 부산대학교 창의공학시스템협동과정, <sup>3</sup>부산대학교 정밀가공시스템학과 대학원, #부산대학교 기계기술연구원,  
<sup>4</sup>충북대학교 기계공학부

Key words : Type 2, Pressure Vessel, Residual Stress, Autofrettage process

### 1. 서론

반복적으로 높은 내압을 받는 압력용기는 여러 산업분야에서 사용되는 구조물로서 작용하중과 사용 조건하에서도 안전하도록 설계/제작 되어야 한다.<sup>1)</sup> 이러한 압력용기의 종류로는 사용 재료와 복합재료 강화 방법에 따라 네 가지로 구분하는데, 이 중에서 Type 1 압력용기는 복합재료에 의한 구조적 강화 없이 강 또는 알루미늄과 같은 금속 재료만으로 압력하중을 견디도록 만든 용기이며, 금속 재료만으로 압력하중을 견뎌야 하므로 두께가 두껍고 무게가 무거운 단점이 있으며, 이를 보완하기 위해 복합재를 이용한 압력용기(Type 2~4)가 제조되고 있고 여러 겹의 압력용기는 고압 기술분야에서 널리 쓰이고 있다.

이 중 본 논문에서 연구할 Type 2 압력용기는 Fig. 1 과 같은 모양으로 강 또는 알루미늄으로 만들어진 금속제 라이너 위에 수지를 함침시킨 탄소섬유나 유리섬유인 복합재를 원주방향으로 감아서 만든 용기이다.

본 연구에서는 90°의 방향으로 복합재가 감긴 Type 2 압력용기에서 자진 공정에서 자진 압력에 대한 복합재와 라이너 사이에서의 잔류응력을 이론식을 유도하여 예측하고 그 결과를 상용해석 프로그램인 ANSYS 11.0의 해석 결과와 비교/분석하였다.



Fig. 1 Type 2 Pressure Vessel

### 2. 이론적 해석

#### 2.1 라이너와 복합재에 작용하는 응력

90°로 복합재가 감긴 압력용기에 자진 압력을 받을 때의 복합재 실린더부의 모습을 Fig. 2에 나타내었다. 원주좌표계에서 각 방향에서 라이너에 작용하는 응력상태와 원주방향에서의 변위는 Lamé's Equation으로 다음과 같은 4개의 식으로 나타낼 수 있다.

$$\sigma_r^{(l)} = \frac{a^2 p_i - b^2 p_o}{(b^2 - a^2)} - \frac{(p_i - p_o) a^2 b^2}{(b^2 - a^2) r^2} \quad (1)$$

$$\sigma_\theta^{(l)} = \frac{a^2 p_i - b^2 p_o}{(b^2 - a^2)} + \frac{(p_i - p_o) a^2 b^2}{(b^2 - a^2) r^2} \quad (2)$$

$$\sigma_z^{(l)} = \frac{a^2 p_i - b^2 p_o}{(b^2 - a^2)} \quad (3)$$

$$u_r^{(l)} = \frac{1 - \nu}{E} \frac{a^2 p_i - b^2 p_o}{(b^2 - a^2)} r + \frac{1 + \nu}{E} \frac{(p_i - p_o) a^2 b^2}{(b^2 - a^2) r} \quad (4)$$

전단응력이 작용하지 않을 때, 복합재의 변형률은 아래와 같은 식으로 표현된다.

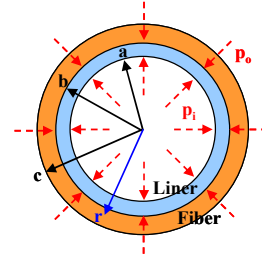


Fig. 2 State of compound cylinder on autofrettage process

$$\epsilon_r^{(f)} = \alpha_{rr} \sigma_r^{(f)} + \alpha_{r\theta} \sigma_\theta^{(f)} + \alpha_{rz} \sigma_z^{(f)} \quad (5)$$

$$\epsilon_\theta^{(f)} = \alpha_{r\theta} \sigma_r^{(f)} + \alpha_{\theta\theta} \sigma_\theta^{(f)} + \alpha_{\theta z} \sigma_z^{(f)} \quad (6)$$

$$\epsilon_z^{(f)} = \alpha_{rz} \sigma_r^{(f)} + \alpha_{\theta z} \sigma_\theta^{(f)} + \alpha_{zz} \sigma_z^{(f)} \quad (7)$$

여기서  $\alpha$ 는 E와  $\nu$ 로 이루어져 있으며 다음과 같다.

$$\begin{bmatrix} \alpha_{rr} & \alpha_{r\theta} & \alpha_{rz} \\ \alpha_{r\theta} & \alpha_{\theta\theta} & \alpha_{\theta z} \\ \alpha_{rz} & \alpha_{\theta z} & \alpha_{zz} \end{bmatrix} = \begin{bmatrix} \frac{1}{E_\theta} & \frac{-\nu_{z\theta}}{E_z} & \frac{-\nu_{\theta z}}{E_r} \\ \frac{-\nu_{z\theta}}{E_z} & \frac{1}{E_z} & \frac{-\nu_{zr}}{E_z} \\ \frac{-\nu_{\theta z}}{E_\theta} & \frac{-\nu_{zr}}{E_z} & \frac{1}{E_r} \end{bmatrix} \quad (8)$$

전단변형이 없으므로  $\epsilon_z$ 는  $\epsilon_z = D$ 과 같은 일정한 상수로 나타낼 수 있다. 이를 대입하여  $\sigma_z^{(f)}$ 에 관한 식으로 나타내어 (5), (6)식에 대입하면 다음과 같은 식이 나타난다.

$$\epsilon_r^{(f)} = \left( \alpha_{rr} - \frac{\alpha_{rz}^2}{\alpha_{zz}} \right) \sigma_r^{(f)} + \left( \alpha_{r\theta} - \frac{\alpha_{rz} \alpha_{\theta z}}{\alpha_{zz}} \right) \sigma_\theta^{(f)} + \frac{\alpha_{rz} D}{\alpha_{zz}} \quad (9)$$

$$\epsilon_\theta^{(f)} = \left( \alpha_{r\theta} - \frac{\alpha_{rz} \alpha_{\theta z}}{\alpha_{zz}} \right) \sigma_r^{(f)} + \left( \alpha_{\theta\theta} - \frac{\alpha_{\theta z}^2}{\alpha_{zz}} \right) \sigma_\theta^{(f)} + \frac{\alpha_{\theta z} D}{\alpha_{zz}} \quad (10)$$

반경방향 변위 u에서의 반경방향과 접선방향 변형률 사이의 관계에서 다음과 같은 식을 나타낼 수 있다.

$$\epsilon_r^{(f)} = \frac{du}{dr}, \quad \epsilon_\theta^{(f)} = \frac{u}{r} \quad \text{and} \quad (11)$$

$$\epsilon_r^{(f)} = \frac{d}{dr} (r \epsilon_\theta^{(f)}) = \epsilon_\theta^{(f)} + r \frac{d\epsilon_\theta^{(f)}}{dr}$$

(11)식을 (9)식과 (10)식에 대입하여 나타내어 정리하면 아래와 같은 미분방정식을 얻을 수 있으며, 여기서 나오는  $\beta$ 와  $\gamma_d$ 는 다음과 같다.

$$\beta_{rr} = \alpha_{rr} - \frac{\alpha_{rz}^2}{\alpha_{zz}}, \quad \beta_{r\theta} = \alpha_{r\theta} - \frac{\alpha_{rz} \alpha_{\theta z}}{\alpha_{zz}} \quad (12)$$

$$\beta_{\theta\theta} = \alpha_{\theta\theta} - \frac{\alpha_{\theta z}^2}{\alpha_{zz}}, \quad \gamma_d = \frac{\alpha_{rz} - \alpha_{\theta z}}{\alpha_{zz}} \quad (12)$$

$$r^3 \beta_{\theta\theta} F''' + r^2 \beta_{\theta\theta} F'' - r \beta_{rr} F' = D r^2 \gamma_d \quad (13)$$

(13)식의 미분방정식을 풀면 각 방향에서 복합재의 응력 상태와 반경방향의 변위가 다음과 같이 나온다.

$$\begin{aligned} \sigma_r^{(f)} &= \frac{1}{r} \frac{dF}{dr} = (1+k)C_1 r^{k-1} + (1-k)C_2 r^{-k-1} + 2A \\ \sigma_\theta^{(f)} &= \frac{d^2 F}{dr^2} = k(1+k)C_1 r^{k-1} - k(1-k)C_2 r^{-k-1} + 2A \end{aligned} \quad (14)$$

$$\begin{aligned} \sigma_z^{(f)} &= \frac{D}{\alpha_{zz}} - \frac{\alpha_{rz} + k\alpha_{\theta z}}{\alpha_{zz}} (1+k)C_1 r^{k-1} \\ &\quad + \frac{-\alpha_{rz} + k\alpha_{\theta z}}{\alpha_{zz}} (1-k)C_2 r^{-k-1} - 2A \frac{\alpha_{rz} + \alpha_{\theta z}}{\alpha_{zz}} \\ u_r^{(f)} &= r\epsilon_\theta^{(f)} = r(\alpha_{r\theta}\sigma_r^{(f)} + \alpha_{\theta\theta}\sigma_\theta^{(f)} + \alpha_{\theta z}\sigma_z^{(f)}) \\ &= (\beta_{r\theta} + k\beta_{\theta\theta})(1+k)C_1 r^k + (\beta_{r\theta} - k\beta_{\theta\theta})(1-k)r^{-k} \\ &\quad + 2(\beta_{r\theta} + \beta_{\theta\theta})Ar + \frac{\alpha_{\theta z}}{\alpha_{zz}} Dr \end{aligned} \quad (15)$$

### 2.2 경계조건

자긴 압력이 작용할 때의 경계조건은 다음과 같다.

- 1) at  $r=b \rightarrow u_r^{(f)} = u_r^{(s)}$
- 2) at  $r=c \rightarrow \sigma_r^{(f)} = 0$
- 3) at  $r=b \rightarrow \sigma_r^{(f)} = -p_o$

한 층의 복합재만 감겨있다고 가정하여 정리하면 다음과 같은  $p_o$ 를 표현할 수 있다.

$$p_o = \frac{2\eta a^2 b}{E(b^2 - a^2)} p_i - \eta(\beta_{r\theta} + k\beta_{\theta\theta})(1-k)b^{-k} \quad (17)$$

### 2.3 잔류응력 예측

라이너의 재료는 가공경과가 없는 탄완전소성상태를 가진다고 가정하며, 앞서 구한  $p_o$ 를 이용하여 반경에서 소성변형을 일으키는 내압과 라이너의 모든 부분에서 소성변형을 일으키는 내압은 다음과 같이 구할 수 있다.

$$p_{i,0\%} = \left\{ \frac{E(b^2 - a^2)}{E(b^2 - a^2) - 2\eta a^2 b} \right\} \left\{ \frac{\sigma_y(b^2 - a^2)}{2b^2} - \eta(\beta_{r\theta} + k\beta_{\theta\theta})(1-k)b^{-k} \right\} \quad (18)$$

$$p_{i,100\%} = -\sigma_r^{(f)} \Big|_{r=a} = \frac{E(b^2 - a^2)}{E(b^2 - a^2) - 2\eta a^2 b} \left\{ \sigma_y \ln \frac{b}{a} - \eta(\beta_{r\theta} + k\beta_{\theta\theta})(1-k)b^{-k} \right\} \quad (19)$$

(18)과 (19)의 식을 이용하여 라이너 외부에서의 응력상태를 다음과 같이 구할 수 있다.

$$\sigma_r^{(f,A)} = -\sigma_y \ln \frac{b}{r} + \left\{ \frac{a^2 b^2}{(b^2 - a^2)r^2} - \frac{2\eta a^2 b}{E(b^2 - a^2)} - \frac{a^2}{b^2 - a^2} \right\} p_{i,100\%} + \eta(\beta_{r\theta} + k\beta_{\theta\theta})(1-k)b^{-k} \quad (20)$$

$$\sigma_\theta^{(f,A)} = \sigma_y \left( 1 - \ln \frac{b}{r} \right) - \left\{ \frac{a^2 b^2}{(b^2 - a^2)r^2} + \frac{2\eta a^2 b}{E(b^2 - a^2)} + \frac{a^2}{b^2 - a^2} \right\} p_{i,100\%} + \eta(\beta_{r\theta} + k\beta_{\theta\theta})(1-k)b^{-k} \quad (21)$$

### 3. 유한요소해석 결과 및 고찰

본 논문에서는 Tresca 항복조건을 사용하여 복합재 압력용기의 실린더부의 자긴가공 해석을 수행하였다. Fig. 3은 자긴 가공을 마치고 내압을 제거한 후 라이너의 반경 방향과 접선방향의 잔류응력 분포를 보여주고 있다.

Fig. 4와 Fig. 5는 반경 거리에 따른 반경 방향과 접선 방향의 응력 및 압축잔류응력의 이론과 유한요소해석 결과이다. 자긴 압력이 작용할 때의 라이너에서의 응력 상태는 반경 방향과 접선 방향 모두 이론 결과와 유한요소해석 결과가 거의 일치하는 것을 살펴볼 수 있다. 하지만 자긴 압력을 제거한 후 라이너에서의 잔류응력은 내부에서 외부로

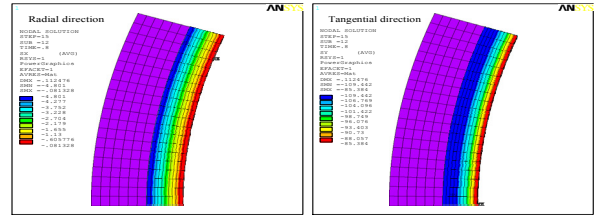


Fig. 3 Maximum shear stress of Radial and Tangential direction

갈수록 압축잔류응력이 작아지는 경향은 비슷하지만 이론 결과가 유한요소해석 결과보다 더 큰 압축잔류응력이 걸리는 것을 살펴볼 수 있다. 이는 자긴 압력이 가해진 후 제거 할 경우 라이너의 스프링백이 일어나 복합재로부터  $p_o$ 보다 작은 압력이 걸려서 이론 결과보다 작은 압축잔류응력 수치가 나오는 것으로 생각된다.

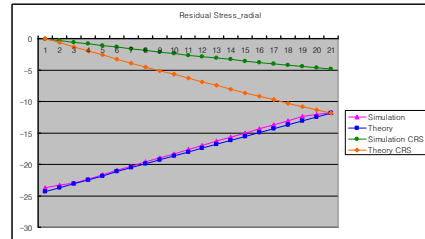


Fig. 4 Compressive residual stress of Radial direction

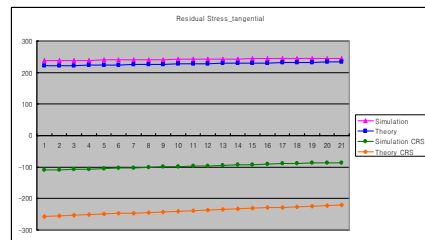


Fig. 5 Compressive residual stress of Tangential direction

### 5. 결론

본 연구에서는 이론식을 이용하여 예측한 반경과 접선 방향의 잔류응력 결과와 유한요소해석을 통한 결과의 비교/분석을 통하여 다음과 같은 결론을 얻었다.

(1) 자긴 압력이 작용하였을 때 라이너에 나타나는 반경방향 및 접선방향 응력상태는 이론으로 구한 결과와 유한요소해석을 통한 결과가 거의 일치하는 것을 볼 수 있다.

(2) 자긴 압력을 제거하였을 때 라이너에 걸려 있는 압축잔류응력의 경우 이론으로 구한 결과와 유한요소해석의 결과가 차이가 나는 것을 볼 수 있다.

라이너의 스프링백을 고려하지 않은 이론적 결과는 유한요소해석 결과와 차이가 다소 있으나 경향성은 확인할 수 있었다. 향후 스프링백을 고려한 이론식과 유한요소해석과 비교할 계획이다.

### 후기

본 연구는 지식경제부의 대학전력연구센터 지원사업의 지원으로 수행된 연구결과임.

### 참고문헌

1. Park, J. H. and Lee, Y. S., "Machining Analysis of the Autofrettaged Compound Cylinder," Trans. of the KSME, Vol. 7, No. 7, pp. 800~807, 2007.
2. P. Y. Tabakov, E. B. Summers, "Lay-up optimization of multilayered anisotropic cylinders based on 3-D elasticity solution," Computers and Structures, Volume 84, Issue 5-6, pp. 374~384, 2006